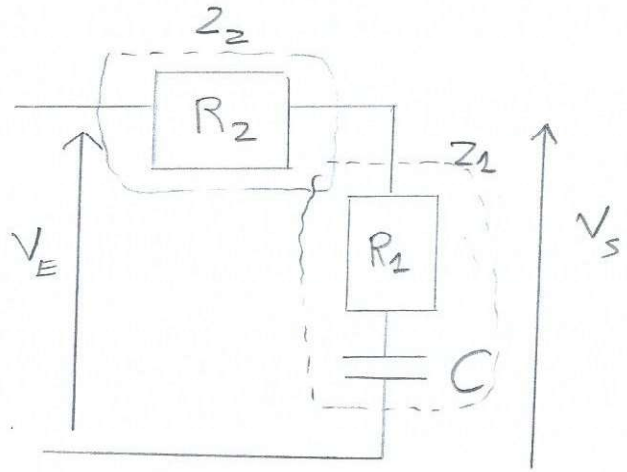
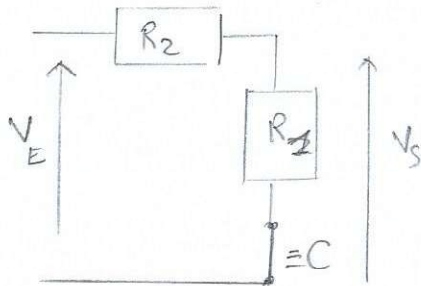


Electrocinétique 1

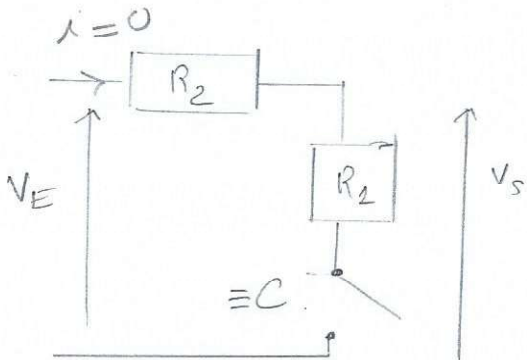
Exercice n° 2 :

① HF:



$$\Rightarrow \frac{V_S}{(HF)} \approx \frac{R_1}{R_1 + R_2} V_E \quad \text{donc} \quad \left| \frac{V_S}{V_E} \right| = \frac{R_1}{R_1 + R_2}$$

BF:



$$\frac{V_S}{BF} = V_E \Rightarrow \left| \frac{V_S}{V_E} \right| = 1$$

$$\begin{aligned} \textcircled{2} \quad H(j\omega) &= \frac{V_S}{V_E} = \frac{Z_1}{Z_1 + Z_2} = \left(\frac{1 + jR_1C\omega}{jC\omega} \right) \left(\frac{1}{R_2 + \frac{1 + jR_1C\omega}{jC\omega}} \right) \quad Z_2 = \frac{jR_1C\omega + 1}{jC\omega} \\ &\Rightarrow H(j\omega) = \frac{1 + jR_1C\omega}{jR_1C\omega + 1 + jR_2C\omega} \Rightarrow H(j\omega) = \frac{1 + j\omega\tau_1}{1 + j\omega\tau_2} \end{aligned}$$

$$\begin{cases} \tau_1 = R_1C \\ \tau_2 = (R_1 + R_2)C \end{cases}$$

③ Diagramme de Bode asymptotique :

$$H(j\omega) = (1 + j\omega\tau_1) \times \frac{1}{1 + j\omega\tau_2} = \frac{H_2(j\omega)}{H'_1(j\omega)}$$

$$H_1 = \frac{1}{H'_1}$$

$$\text{avec } H'_1 = \frac{1}{1 + j\omega\tau_2}$$

PBas 1^{er} ordre

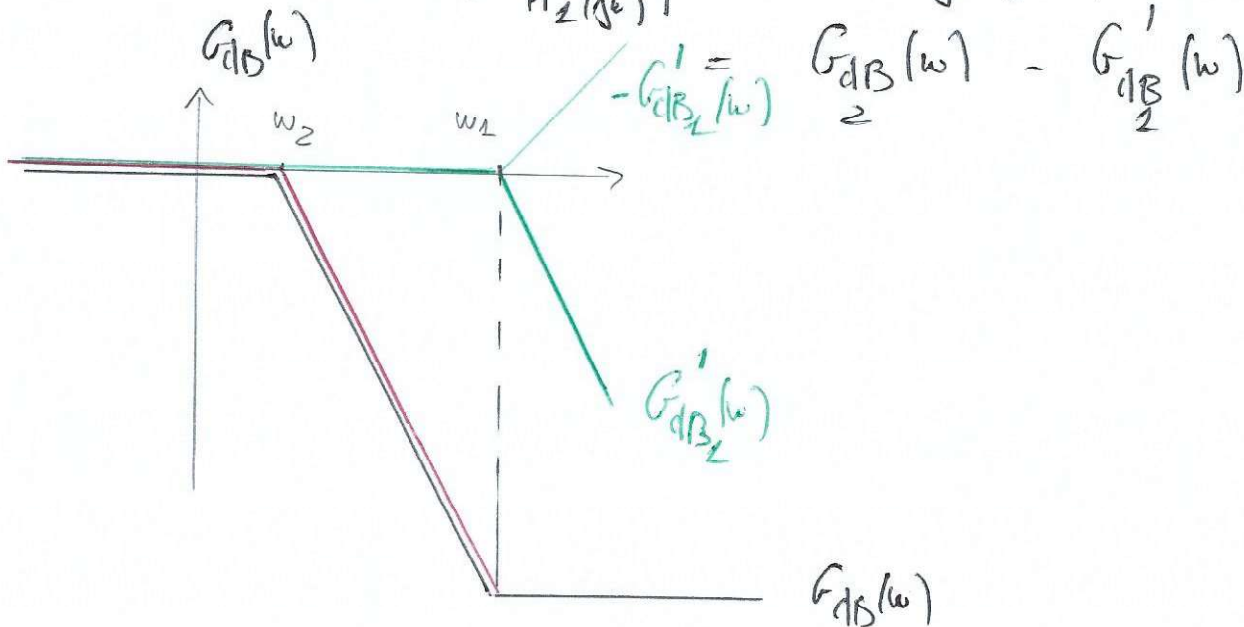
H_2 : PBas 1^{er} ordre

④ Il faut envisager que τ_1 et τ_2 soit assez \neq pour tracer facilement le diagramme de Bode :

$$\text{A.N.} \quad \begin{cases} \tau_1 = R_1 C = 10^4 \times 10^{-8} = 10^{-4} \text{ s} \\ \tau_2 = (R_1 + R_2) C = 10^5 \times 10^{-8} = 10^{-3} \text{ s} \end{cases} \Rightarrow \tau_1 \ll \tau_2$$

$$\text{donc } \omega_2 = \frac{1}{\tau_2} \ll \omega_1 = \frac{1}{\tau_1}$$

$$G_{dB}(\omega) = 20 \log \left| \frac{H_2(j\omega)}{H'_1(j\omega)} \right| = 20 \log G_2(\omega) - 20 \log G'_1(\omega)$$



$$④ \quad G = \frac{\sqrt{1 + \left(\frac{\omega}{\omega_2}\right)^2}}{\sqrt{1 + \left(\frac{\omega}{\omega_1}\right)^2}} = \frac{G_{\text{max}}}{\sqrt{2}} = \frac{1}{\sqrt{2}}$$

$$\Rightarrow 2 \left(1 + \left(\frac{\omega_c}{\omega_1}\right)^2 \right) = 1 + \left(\frac{\omega_c}{\omega_2}\right)^2$$

$$\Rightarrow 2 + \frac{2\omega_c^2}{\omega_1^2} = 1 + \frac{\omega_c^2}{\omega_2^2} \Rightarrow \omega_c^2 \left(\frac{1}{\omega_2^2} - \frac{2}{\omega_1^2} \right) = \frac{1}{2}$$

$$\omega_c^2 = \frac{\omega_1^2 \times \omega_2^2}{\omega_1^2 - 2\omega_2^2} \Rightarrow$$

$$\omega_c = \sqrt{\frac{\omega_1^2 \omega_2^2}{\omega_1^2 - 2\omega_2^2}}$$

On trouve $\omega_c = \sqrt{\frac{\frac{1}{\tau_1^2} \frac{1}{\tau_2^2} \times \frac{1}{\frac{1}{\tau_1^2} - 2\frac{1}{\tau_2^2}}}} = \sqrt{\frac{1}{\tau_2^2 - 2\tau_1^2}}$

$$\textcircled{5} \quad \tau_2 \frac{d\Delta(t)}{dt} + \Delta(t) = \tau_1 \frac{d\epsilon(t)}{dt} + \epsilon(t).$$

A.N. $\omega_c = 1010,1 \text{ rad.s}^{-1}$
 $(f_c \approx 160 \text{ Hz})$

$$\Rightarrow \frac{d\Delta(t)}{dt} + \frac{1}{\tau_2} \Delta(t) = \frac{\tau_1}{\tau_2} \frac{d\epsilon(t)}{dt} + \frac{1}{\tau_2} \epsilon(t)$$

$\textcircled{6} \quad V_E(t) = \frac{A}{2} (1 + \cos 2\omega t)$ linéarisation pour traiter le signal composante/composante.

$$= \underbrace{\left(\frac{A}{2}\right)}_{cc=a_{0e}} + \underbrace{\left(\frac{A}{2}\right)}_{d_{2e}} \cos(2\omega t)$$

$\rightarrow cc: a_{0\Delta} = G(0) a_{0e} = a_{0e} = \frac{A}{2} = 0,5 \text{ V}$

\rightarrow harmonique rang $n=2$:
$$\begin{aligned} d_{2\Delta} &= G(2\omega) d_{2e} = \frac{\sqrt{1+4\omega^2\tau_2^2}}{\sqrt{1+4\omega^2\tau_1^2}} \times d_{2e} \\ \varphi_{2\Delta} &= \varphi_{2e} + \arg H/P(j\omega) = \arg(1+j\tau_2\omega) - \arg(1+j\tau_1\omega) \\ &= 0 \\ &= \arg(2\tau_2\omega) - \arg(2\tau_1\omega) \end{aligned}$$

A.N. $d_{2\Delta} = 0,1 \frac{A}{2} = 0,05 \text{ V}$

$\varphi_{2\Delta} = -0,089 \text{ rad} \approx -0,09 \text{ rad.}$

$\textcircled{7}$ Réponse initiale: (échelon unitaire à $t=0$)

\Rightarrow par l'ed. ! $\left(\frac{d\epsilon(t)}{dt}\right)_{t=0} = 0$

pour $t > 0$: $\frac{d\Delta(t)}{dt} + \frac{1}{\tau_2} \Delta(t) = \frac{1}{\tau_2} E$

Exercice n° 6 : Effet Flanguez (en chorus)

$$\Delta(t) = e(t) + e(t-\tau)$$

① Fonction de transfert

$$e(t) \rightarrow \underline{e}(t) = E e^{j(\omega t + \varphi)}$$

$$e(t-\tau) \rightarrow \underline{e}(t-\tau) = E e^{j(\omega(t-\tau) + \varphi)}$$

$$H(j\omega) = \frac{\Delta(t)}{\underline{e}(t)} = \frac{e^{j(\omega t + \varphi)}}{e^{j(\omega t + \varphi)}} (1 + e^{-j\omega\tau})$$

$$\Rightarrow H(j\omega) = 2 e^{-j\frac{\omega\tau}{2}} \cos\left(\frac{\omega\tau}{2}\right)$$

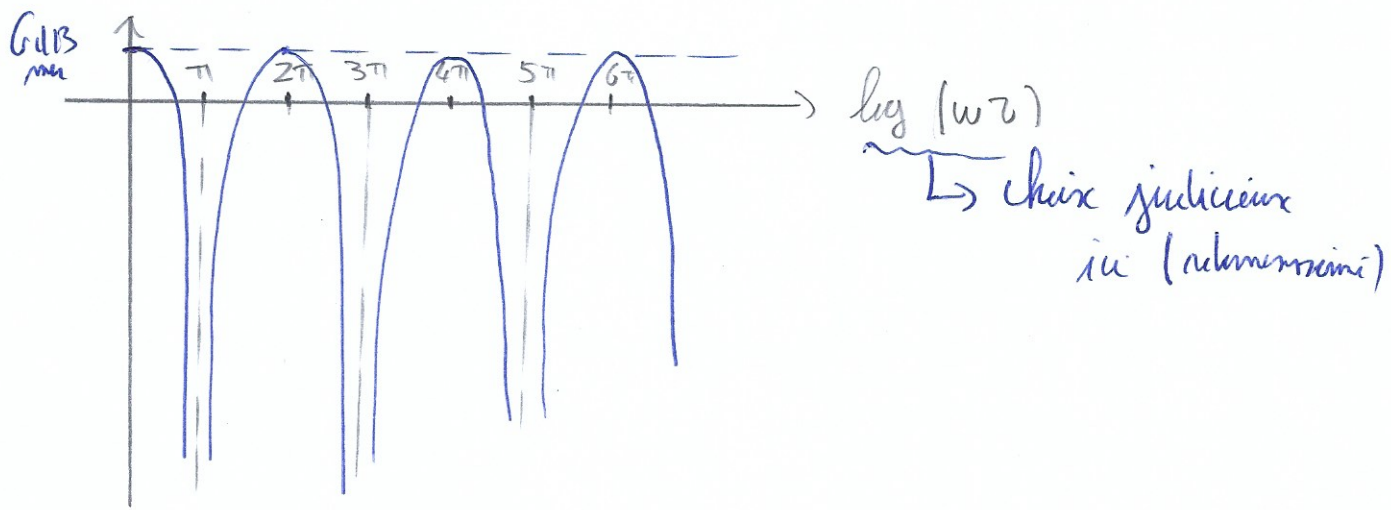
② Curve de réponse en gain:

$$G(\omega) = |H(j\omega)| = 2 \left| \cos\left(\frac{\omega\tau}{2}\right) \right|$$

$$G_{dB} = 20 \log 2 \left| \cos\left(\frac{\omega\tau}{2}\right) \right|$$

⚠ la curve de gain présente une infinité d'asymptotes
disposés aux pulsations telles que $\left(\frac{\omega\tau}{2}\right) = (2k+1)\pi/2$

$$\Rightarrow \omega_k = (2k+1) \frac{\pi}{\tau}$$



NB: $G_{dB}(\max) = 20 \log 2$ pour $|\cos \frac{wz}{2}| = 1$

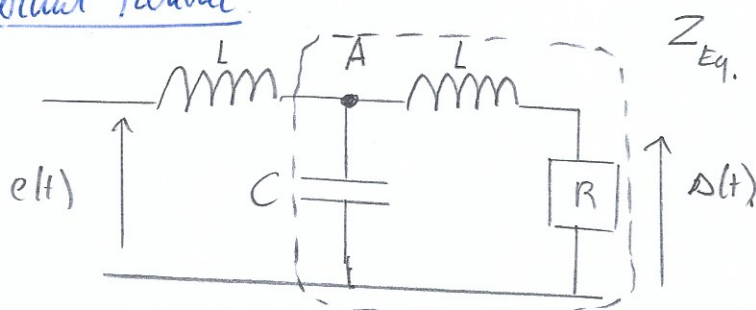
ie $\frac{wz}{2} = k\pi$
 $\Rightarrow wz = 2k\pi$

③ La FTSC n'est pas un rapport de 2 polynômes en jw type $H(jw) = \frac{N(jw)}{D(jw)}$

dont les coefficients résultent soit de R, L, C \Rightarrow impossible d'obtenir H avec des composants linéaires.

\rightarrow circuit à priori non linéaire.

④ Circuit réel



1^{ère} étape: schéma de transfert

$$H(jw) = \frac{\Delta}{e} = \underbrace{\left(\frac{\Delta}{V_A} \right)}_{H_2} \times \underbrace{\left(\frac{V_A}{e(t)} \right)}_{H_2}$$

$$H_1 = \frac{R}{R + j\omega L} \quad \text{et} \quad H_2 = \frac{Z_{eq.}}{Z_L + Z_{eq.}}$$

$$\text{avec } Z_{eq.} = \left(j\omega C + \frac{1}{R + j\omega L} \right)^{-1} = \frac{1}{j\omega C + \frac{1}{R + j\omega L}}$$

$$\text{donc: } H_2 = \frac{1}{\left(j\omega C + \frac{1}{R + j\omega L} \right)} \times \frac{1}{j\omega L + \frac{1}{j\omega C + \frac{1}{R + j\omega L}}}$$

$$\Rightarrow H_2 = \frac{1}{1 + (j\omega)^2 LC + \frac{j\omega L}{R + j\omega L}}$$

Donc:

$$H = \frac{R}{R + j\omega L} \times \frac{1}{1 + (j\omega)^2 LC + \frac{j\omega L}{R + j\omega L}} = \frac{R}{j\omega L + (R + j\omega L)(1 + (j\omega)^2 LC)}$$

$$\Rightarrow H = \frac{R}{j\omega L + R + (j\omega)^2 LCR + j\omega L + (j\omega)^3 L^2 C}$$

$$\Rightarrow H = \frac{1}{1 + \frac{2j\omega L}{R} + (j\omega)^2 LC + (j\omega)^3 \frac{L^2 C}{R}}$$

2^{ème} étape: Evaluer la FTSO en BF et s'assurer qu'elle peut arriver une 1^{ère} retard.

$$\text{DL2} \\ H_{BF} \approx \frac{1}{1 + \frac{2j\omega L}{R}} \approx 1 - \frac{2j\omega L}{R}$$

$$\text{Koppel: } H_{retr} = \frac{e(t-\tau)}{e(t)} = e^{-j\omega\tau} \underset{\omega\tau \ll 1}{\approx} 1 - j\omega\tau$$

Par identification:

$$\omega\tau = \frac{2L\omega}{R} \Rightarrow \tau = \frac{2L}{R} \quad \text{or} \quad R = \sqrt{\frac{2L}{C}}$$

$$\Rightarrow \tau = \frac{2L}{\sqrt{\frac{2L}{C}}} = \sqrt{2} \sqrt{LC} \Rightarrow \boxed{\tau = \sqrt{2LC}}$$

A.N. On veut $\tau = 1 \text{ ms}$.

$$\text{par exemple } \begin{cases} L = 1 \text{ mH} \Rightarrow C = 0,5 \text{ mF} \\ L = 10 \text{ mH} \Rightarrow C = 50 \text{ nF} \end{cases}$$

Domaine de fréquence exploitable:

$$\omega\tau \ll 1 \quad \text{par exemple } (\omega\tau)_{\text{max}} \sim 0,1$$

$$f_{\text{max}} \sim \frac{0,1}{2\pi\tau} = 25,9 \text{ Hz} \simeq 16 \text{ Hz}$$

⊙ *Totalement exploitable*

Correction Exercice n°7: Influence de la résistance d'entrée d'un oscilloscope

- ❶ De manière évidente $U_1 = E$ puisque la voie de l'oscilloscope utilisée est branchée directement aux bornes de la source. Pour le second cas, la relation du diviseur de tension:

$$U_2 = \frac{R_e}{R_e + R} \cdot E$$

A partir des deux relations précédentes, on déduit sans peine l'expression de R_e :

$$R_{e_{exp}} = R \frac{U_2}{U_1 - U_2}$$

En mesurant les valeurs expérimentales de U_1 et U_2 on accède donc à la résistance d'entrée de l'oscilloscope.

- ❷ Code python complété:

Listing 1: Ex.7: influence de la résistance d'entrée d'un oscilloscope

```
1 import numpy as np
2 import numpy.random as rd
3 from matplotlib import pyplot as plt
4 ##### Données numériques #####
5 N=int(1000)
6 E=1.00
7 alpha=0.01
8 n=100
9
10 ##### Construction des tableaux de tirages #####
11 X=np.exp(np.linspace(np.log(0.1),np.log(10),n))
12
13 Tabcarttype=[]
14
15 for x in X:
16     tabRe=x / ( (1+rd.normal(0,alpha,1000)) / (1/(1+x)+rd.normal(0,alpha,1000)) -1)
17     Tabcarttype.append(np.std(tabRe,ddof=1))
18
19 ##### Tracé #####
20 plt.figure("Tracé_de_la_résistance_d'entrée")
21 plt.plot(X,Tabcarttype,'o',color="red")
22 plt.xscale('log')
23 #plt.xticks([0.1,10], fontweight='bold', fontsize=13)
24 #plt.yticks([0.04,0.18], fontweight='bold', fontsize=18)
25 plt.show()
26 plt.xlabel("x",color="black",fontsize=14)
27 plt.ylabel(r"$U \left( \dfrac{R_{e_{exp}}}{R_e} \right)$",color="black",fontsize=14,
    rotation=0,loc="top")
```

- ❸ Commentaires en lien avec la courbe:

La courbe de l'incertitude type relative montre une valeur optimale pour x ; au contraire l'incertitude relative augmente fortement pour les faibles et fortes valeurs de x . On peut facilement interpréter cette tendance en reformulant avec x les expressions des numérateur et dénominateur de l'expression de $R_{e_{exp}} = R \frac{U_2}{U_1 - U_2}$:

$$\text{on a } U_2 = \frac{1}{1+x} \cdot E \text{ ce qui donne immédiatement } U_1 - U_2 = \left(1 - \frac{1}{1+x}\right) E = \frac{x}{1+x} E$$

Ainsi:

- si $x \gg 1$ alors $U_2 \ll E$: la mesure de U_2 , qui est très faible, va posséder une forte incertitude relative, ce qui sera également le cas de $R_{e_{exp}}$.
- si $x \ll 1$ alors $U_1 - U_2 \ll E$: c'est la quantité $U_1 - U_2$ qui va, cette fois, être faible, posséder une forte incertitude relative, et entraîner une forte incertitude relative sur $R_{e_{exp}}$.

- ④ Cette méthode de mesure est très classique (et vous l'avez probablement expérimentée en MP2I!):

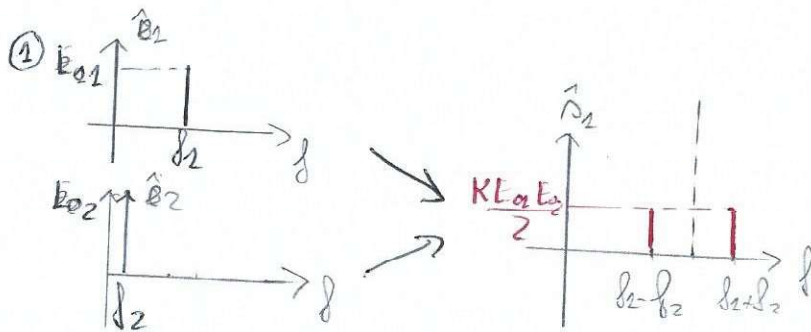
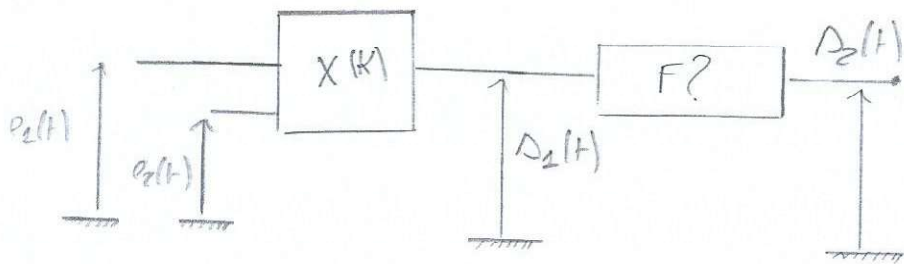
L'égalité $U_2 = \frac{U_1}{2}$ est vérifiée lorsque le rapport du diviseur de tension vu en ① est:

$$\frac{R_e}{R + R_e} = \frac{1}{2}$$

c'est à dire lorsque $R = R_e$, donc pour $x = 1$

La courbe tracée montre pour sa part une valeur optimale comprise entre $x = 1$ et $x = 2$ (attention l'échelle de l'axe des abscisses est logarithmique), et est plutôt difficile à évaluer précisément. La méthode de la tension moitié, si elle n'est pas optimale, est donc assez satisfaisante.

Exercice n° 9: Radar de Police

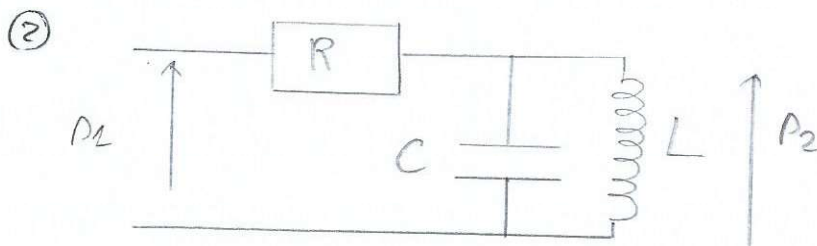


NB (1) $f_1 > f_2$
 min $f_1 - f_2 \rightarrow |f_1 - f_2|$

$$\begin{aligned} \Delta_2(t) &= K E_{01} E_{02} \cos(2\pi f_1 t + \varphi_1) \cos\left(2\pi f_2 \left(1 - \frac{v}{c}\right) + \varphi_2\right) \\ &= \frac{K E_{01} E_{02}}{2} \left[\cos\left(2\pi 2f_1 \left(1 - \frac{v}{c}\right) t + \varphi_1 + \varphi_2\right) \right. \\ &\quad \left. + \cos\left(2\pi 2f_1 \frac{v}{c} t + (\varphi_1 - \varphi_2)\right) \right] \end{aligned}$$

Filter F: passe bas ou passe-bande
 chim.

$$H(jf) = \frac{H_0}{1 + jQ\left(\frac{f}{f_0} - \frac{f_0}{f}\right)}$$



$$\begin{aligned} H(j\omega) &= \frac{Z_{eq}}{Z_{eq} + R} \quad \text{avec} \quad Z_{eq} = \left(j\omega C + \frac{1}{j\omega L} \right)^{-1} = \left(\frac{1 + (j\omega)^2 LC}{j\omega L} \right)^{-1} \\ &= \frac{j\omega L}{1 + (j\omega)^2 LC} \times \frac{1}{\frac{j\omega L}{1 - (j\omega)^2 LC} + R} = \frac{j\omega L}{1 - (j\omega)^2 LC} \end{aligned}$$

$$H(j\omega) = \frac{jL\omega}{jL\omega + R + (j\omega)^2 LC} = \frac{1}{1 + \frac{R}{jL\omega} + j\omega RC} = \frac{1}{1 + j\left(\omega RC - \frac{R}{L\omega}\right)}$$

ident avec $H(j\omega) = \frac{H_0}{1 + jQ\left(\frac{\omega}{\omega_0} - \frac{\omega_0}{\omega}\right)}$

Forme passe-bande $\Rightarrow Q$

$$\Rightarrow \begin{cases} \frac{Q}{\omega_0} = RC \\ Q\omega_0 = \frac{R}{L} \end{cases} \Rightarrow \begin{cases} Q = R\sqrt{\frac{C}{L}} \\ \omega_0 = \frac{R}{LQ} = \frac{R}{L} \frac{1}{R\sqrt{\frac{C}{L}}} = \frac{1}{\sqrt{LC}} \end{cases} \text{ et } H_0 = 1$$

③. A.N. $\delta_1 - \delta_2 = 2\delta_1 \frac{\nu}{c} = 2 \times 24,150 \cdot 10^9 \times \frac{9013,6}{3 \cdot 10^8} = 4,025 \text{ kHz}$

• $\delta_0 = \frac{1}{2\pi\sqrt{LC}} \Rightarrow C = \frac{1}{4\pi^2 L \delta_0^2} = 0,78 \text{ nF}$

$\nu = \frac{\delta_0}{2\delta_1} c \Rightarrow \frac{\Delta\nu}{\nu} = \frac{\Delta\delta_0}{\delta_0}$ $\Delta\delta_0$: incertitude sur la valeur de fréquence centrale du filtre

$\Rightarrow \frac{\Delta\nu}{\nu} = \frac{1}{Q} = 5 \cdot 10^{-2} \text{ msc} \Rightarrow Q \gg 20$

$Q_L = R\sqrt{\frac{C}{L}} \Rightarrow R = Q_L \sqrt{\frac{L}{C}} = 1013 \Omega \simeq 1 \text{ k}\Omega$

Exercice n°10 Détection de signaux p-ondes

① a) PB \Rightarrow ne garde que la CC or $\text{ici } \langle \Delta(t) \rangle = 0 \Rightarrow$ insuffisant

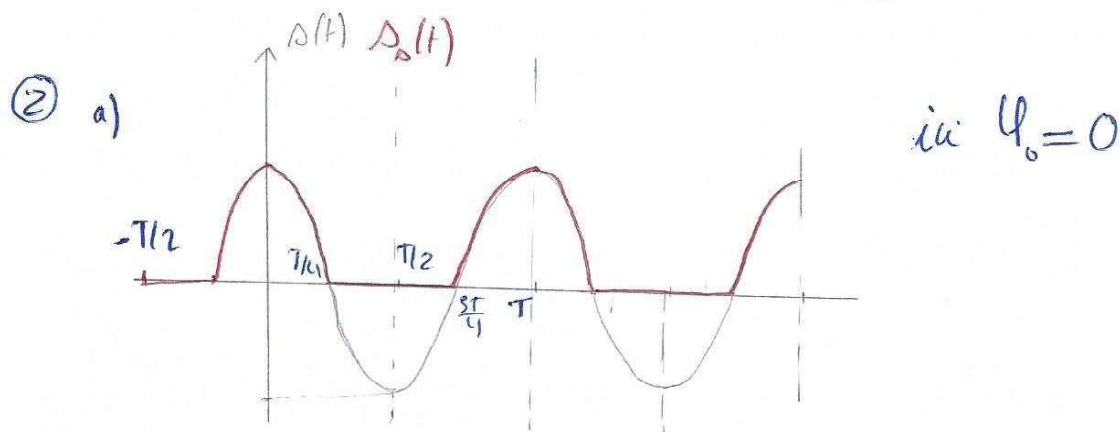
b) On peut écrire le signal de phase à l'origine instable:

$$\Delta(t) = A \cos(\underbrace{2\pi f t + \varphi_0(t)}_{\varphi(t)})$$

la fréquence de ce signal est par définition $f_s = \frac{1}{2\pi} \frac{d\varphi(t)}{dt}$

$$f_s = \frac{1}{2\pi} \left(2\pi f + \frac{d\varphi_0(t)}{dt} \right) \Rightarrow f_s = f + \frac{1}{2\pi} \left(\frac{d\varphi_0(t)}{dt} \right)$$

\Rightarrow fréquence non stable \Rightarrow non filtrable $= f(t)$ à priori non linéaire



b) Alternances négatives coupées.

c) partie hors programme mais pas inintéressante!

car valeur moyenne: $a_0 = \frac{1}{T} \int_T \underbrace{\Delta_{\Delta}(t)}_{\text{pair}} dt = \frac{2}{T} \int_0^{T/2} \Delta_{\Delta}(t) dt = \frac{2}{T} \int_0^{T/4} A \cos(\omega t) dt$

$$= \frac{2}{T} \frac{A}{\frac{2\pi}{T}} \left[\sin \omega t \right]_0^{T/4} = \frac{2A}{2\pi} \left[\sin \frac{\pi}{2} \right] = \frac{A}{\pi}$$

$$\begin{aligned}
 a_m &= \frac{2}{T} \int_T s(t) \cos(mt) \cdot dt = \frac{2}{T} \int_{-T/4}^{T/4} A \cos(\omega t) \cos(mt) \cdot dt \\
 &= \frac{4A}{T} \int_0^{T/4} \cos \omega t \cos m \omega t \, dt = \frac{4A}{2T} \left\{ \int_0^{T/4} \cos(m-1)\omega t \cdot dt + \int_0^{T/4} \cos(m+1)\omega t \cdot dt \right\} \\
 &= \frac{2A}{T} \frac{\sin(m-1)\pi/2}{(m-1)\omega} + \frac{2A}{T} \frac{\sin(m+1)\pi/2}{(m+1)\omega} \\
 &= \frac{A}{\pi} \frac{\sin(m-1)\pi/2}{(m-1)} + \frac{A}{\pi} \frac{\sin(m+1)\pi/2}{(m+1)}
 \end{aligned}$$

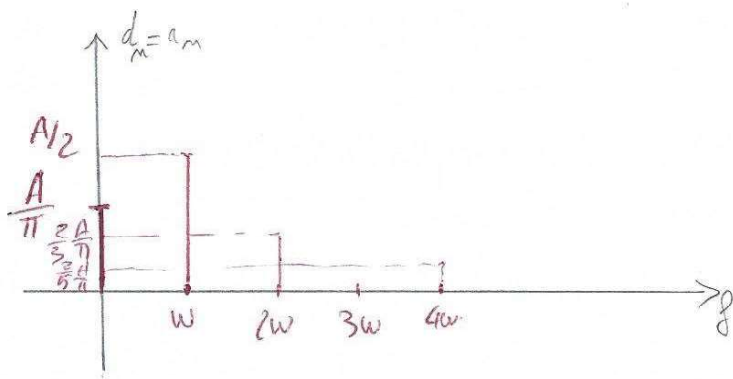
*** Δ l'intégrale non calculable pour $m=2$:

\Rightarrow on calcule séparément les cas $m=2$ et $m \geq 1$

$$\rightarrow a_1 = \frac{2A}{T} \left\{ \int_0^{T/4} dt + \int_0^{T/4} \cos 2\omega t \cdot dt \right\} = \frac{2A}{T} \left\{ \frac{T}{4} + \frac{\sin \pi}{2\omega} \right\} = \frac{A}{2}$$

$$\begin{aligned}
 \rightarrow a_2 &= \frac{2A}{T} \left\{ \int_0^{T/4} \cos(\omega t) \cdot dt + \int_0^{T/4} \cos(3\omega t) \cdot dt \right\} = \frac{2A}{T} \left\{ \frac{\sin \frac{\pi}{2}}{\frac{2\pi}{T}} + \frac{\sin(\frac{6\pi}{T} \frac{T}{4})}{\frac{3\pi}{T}} \right\} \\
 &= \frac{A}{\pi} - \frac{2A}{\pi} \times \frac{1}{\frac{6\pi}{T}} = \frac{A}{\pi} - \frac{A}{3\pi} = \frac{2}{3} \frac{A}{\pi}
 \end{aligned}$$

$$\begin{aligned}
 \rightarrow a_3 &= \frac{2A}{T} \left\{ \int_0^{T/4} \cos 2\omega t \cdot dt + \int_0^{T/4} \cos(4\omega t) \cdot dt \right\} \\
 &= \frac{2A}{T} \left\{ \frac{\sin \pi}{2\omega} + \frac{\sin 2\pi}{4\omega} \right\} = 0
 \end{aligned}$$

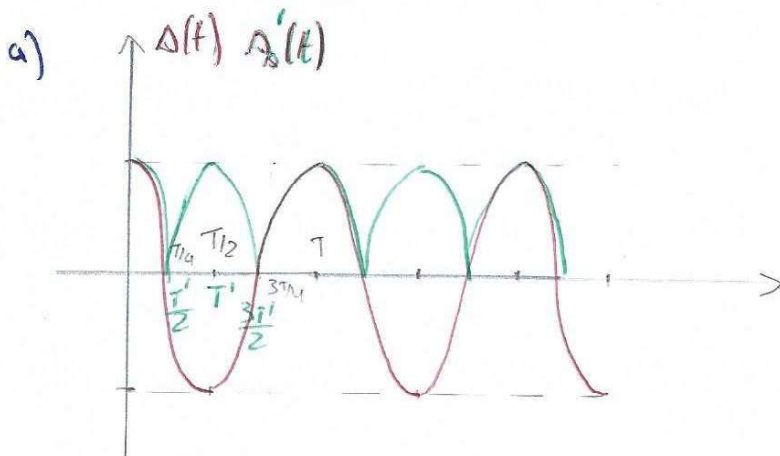


d) \Rightarrow filtre passe-bas passif avec $\omega_c \ll \omega \Rightarrow D = \frac{A}{\pi} \Rightarrow \boxed{\frac{D}{A} = \frac{1}{\pi}}$
 ne récupère que la CC du signal) avec $H(j\omega) = \frac{1}{1+j\omega\tau}$

NB: si filtre actif: $H(j\omega) = \frac{H_0}{1+j\omega\tau}$

$$D = \frac{H_0 A}{\pi} \Rightarrow \boxed{\frac{D}{A} = \frac{H_0}{\pi}}$$

③ Allure du signal:



NB: fréquence du fondamental doublée pour $\Delta'(t)$ par rapport à $\Delta(t)$
 \rightarrow calcul identique des a_1, a_2, a_3 pour $\begin{cases} \omega \rightarrow 2\omega \\ T \rightarrow \frac{T}{2} \end{cases}$
 \Rightarrow m mettre à facteur multiplicatif près.

a) Avantage: "plus de tps passé" en alternance > 0
 \Rightarrow valeur moyenne augmentée

Calcul: $\langle \Delta'(t) \rangle = a'_0 = \frac{1}{T'} \int_{(T)} \Delta'(t) \cdot dt = \frac{1}{T'} \int_{-\pi/2}^{\pi/2} \cos(\omega t) \cdot dt = \frac{2}{T'} \int_0^{\pi/2} \cos \omega t \cdot dt$

$$a'_0 = \frac{2A}{T'} \left[\sin \frac{2\pi}{T} \frac{T}{4} \right] = \frac{A}{\frac{T}{2} \frac{\pi}{T}} = \frac{2A}{\pi} \Rightarrow D' = \frac{2A}{\pi} \text{ en sortie du PB2}$$

donc $\frac{D'}{A} = \frac{2}{\pi}$ l'amplitude est doublée en sortie du PB
 \Rightarrow meilleure détection p-ondes
 (plus "sensible")